

Metody sztucznej inteligencji

Laboratorium

Ćw. 5: Sieci neuronowe jednokierunkowe

Wykonali:

Agnieszka Antczak
Leszek Owczarek

Grupa 3

Data odbycia ćwiczenia:

15.12.2010

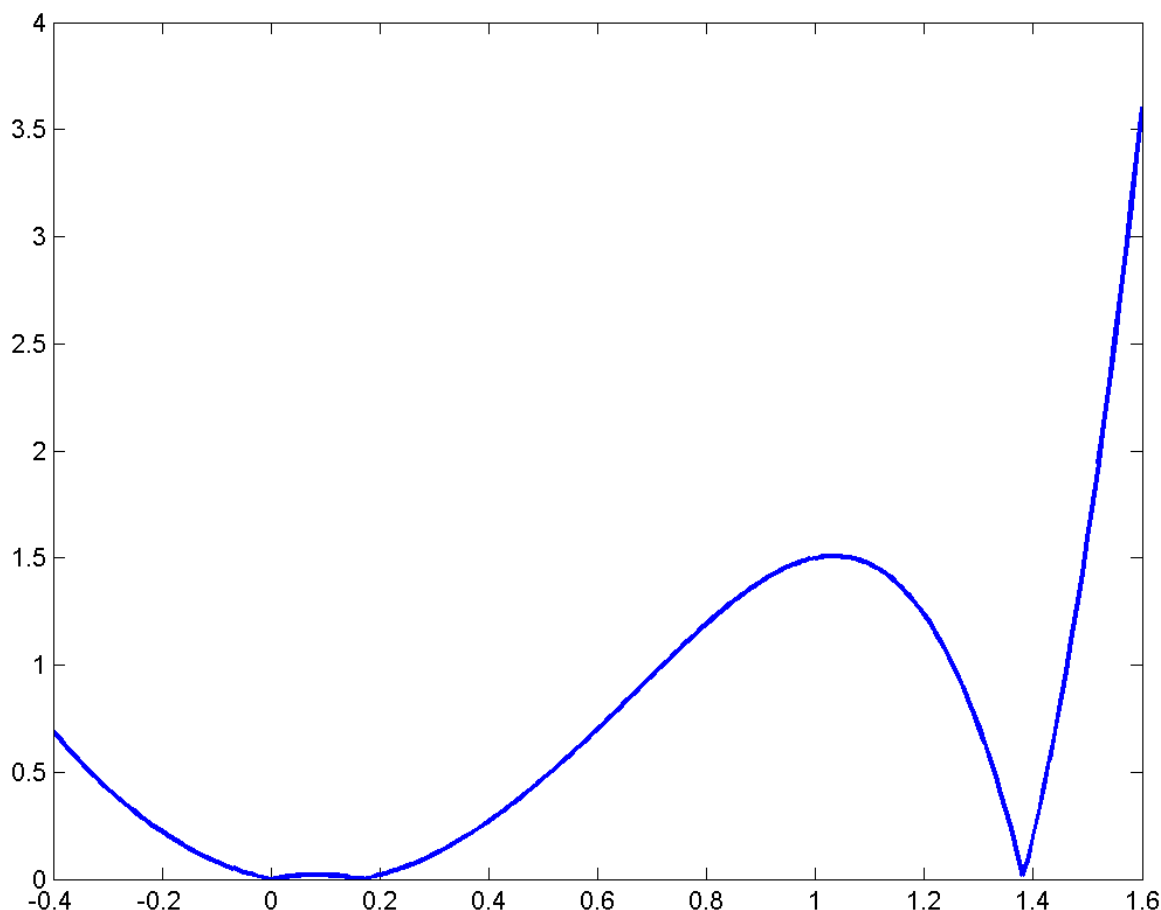
I. Przygotowanie danych

1. Funkcja nieliniowa

Do testowania sieci neuronowych jednokierunkowych wybrana została następująca funkcja:

$$f(x) = \left| x^5 - 3x^2 + \frac{1}{2}x \right|$$

Funkcja ta posiada 5 ekstremów lokalnych w przedziale $[-0.4, 1.6]$, co widać na poniższym wykresie.



Rysunek 1: wykres funkcji w badanym przedziale

2. Zbiór uczący i testowy

Zbiór uczący składał się z punktów należących do wykresu funkcji f w przedziale $[-0.4, 1.6]$, oddalonych od siebie na osi odciętych co 0.1. Zbiór uczący składał się więc z 21 punktów.

Zbiór testowy był analogiczny do zbioru testowego z tą różnicą, że punkty na osi odciętych są od siebie oddalone co 0.001. Zbiór uczący składał się więc z 2001 punktów.

3. Utworzenie sieci

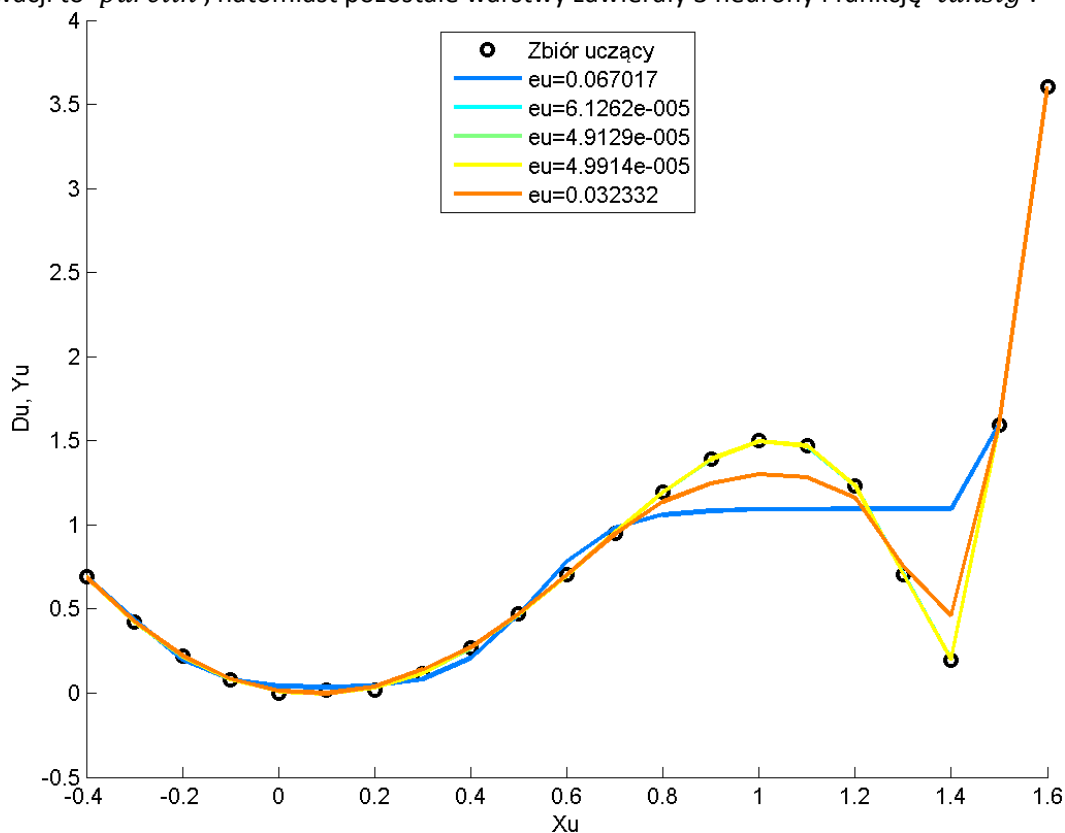
Po wygenerowaniu zbiorów uczącego i testowego utworzona została wielowarstwowa sieć neuronowa, której zadaniem była aproksymacja nieliniowej funkcji f na podstawie zbioru uczącego. Parametrami tej sieci są:

N – wektor zawierający liczby neuronów w poszczególnych warstwach sieci; domyślnie: $[10 \ 1]$,
 F – wektor komórkowy zawierający funkcje aktywacji poszczególnych warstw; domyślnie: $\{'tansig' \ 'purelin'\}$,
 M – ciąg tekstowy określający metodę uczenia sieci; domyślnie: $'trainlm'$,
 e – liczba określająca maksymalną ilość epok; domyślnie: 100.

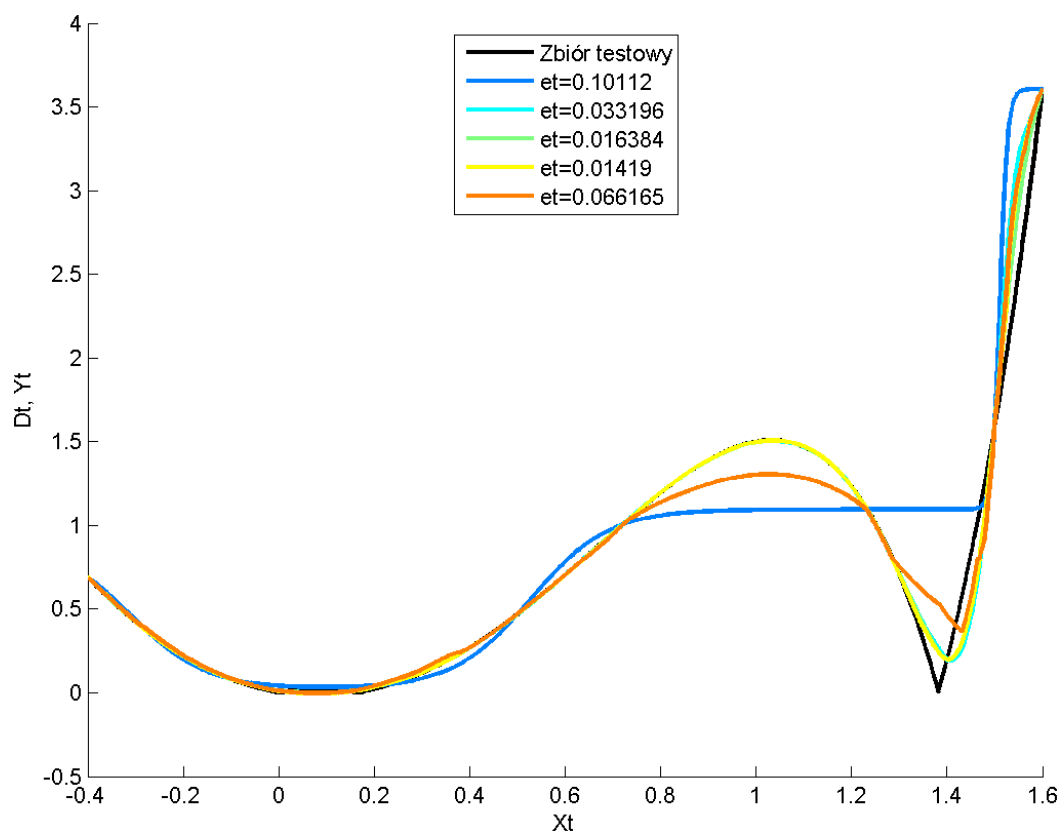
II. Wpływ parametrów na jakość aproksymacji

1. Liczba warstw sieci

Liczba ta zmieniana była kolejno od 2 do 6 warstw. Kolejność ta odpowiada kolorom linii i wartościom błędu średniokwadratowego umieszczonych w legendzie. Ostatnią warstwę stanowił 1 neuron, dla którego postać funkcji aktywacji to *'purelin'*, natomiast pozostałe warstwy zawierały 3 neurony i funkcję *'tansig'*.



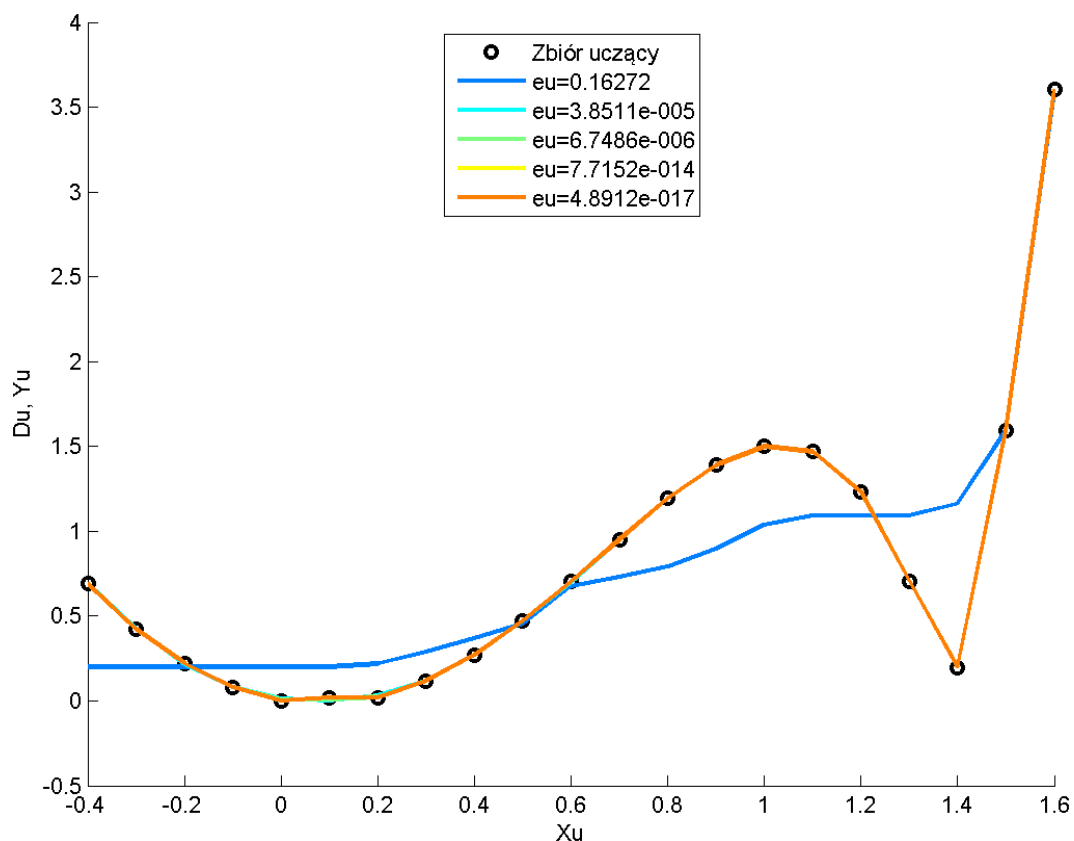
Rysunek 2: wpływ liczby warstw sieci na jakość aproksymacji zbioru uczącego



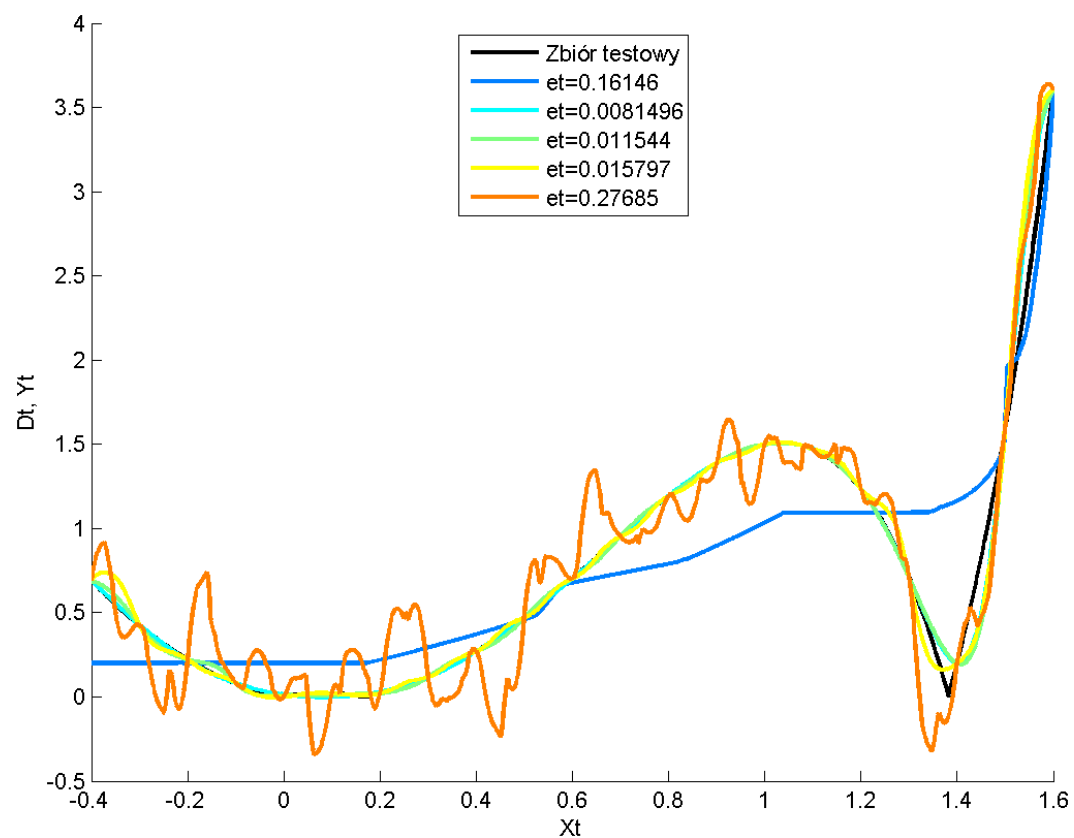
Rysunek 3: wpływ liczby warstw sieci na jakość aproksymacji zbioru testowego

2. Liczba neuronów w warstwach

Zmieniana była liczba neuronów tylko w pierwszej warstwie sieci. Liczba ta wynosiła kolejno: 2, 5, 10, 20 i 50. W drugiej warstwie w każdym przypadku znajdował się jeden neuron.



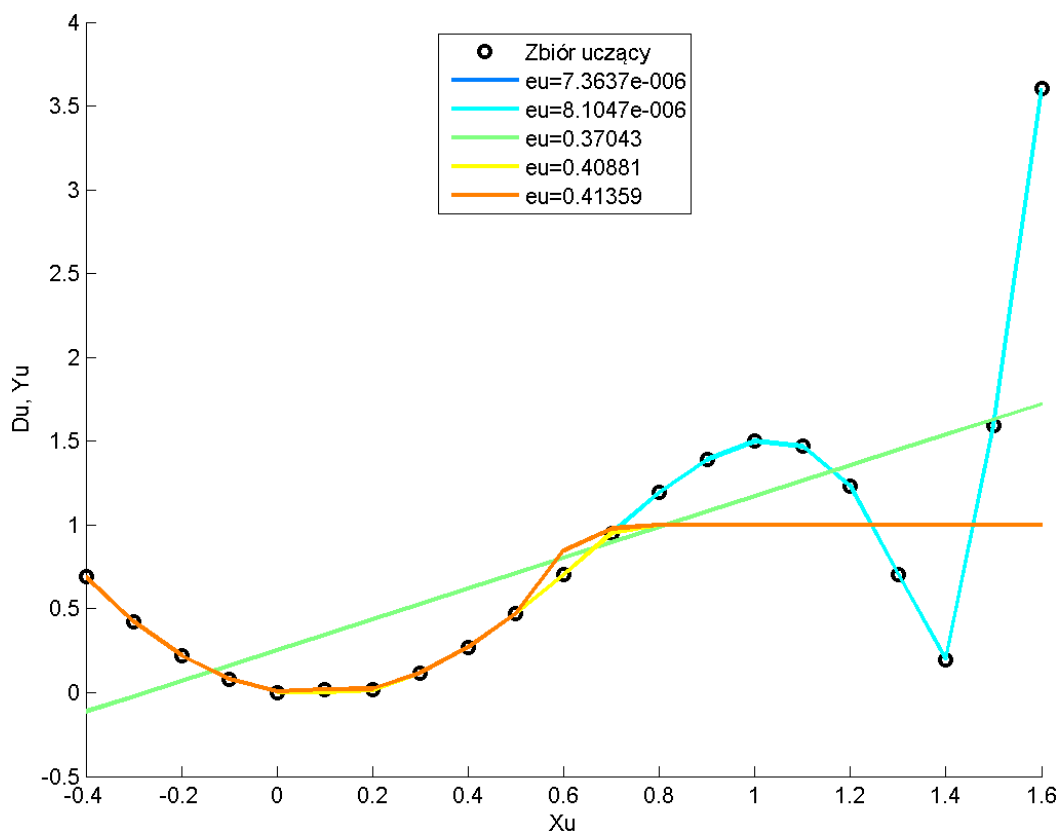
Rysunek 4: wpływ liczby neuronów w warstwach na jakość aproksymacji zbioru uczącego



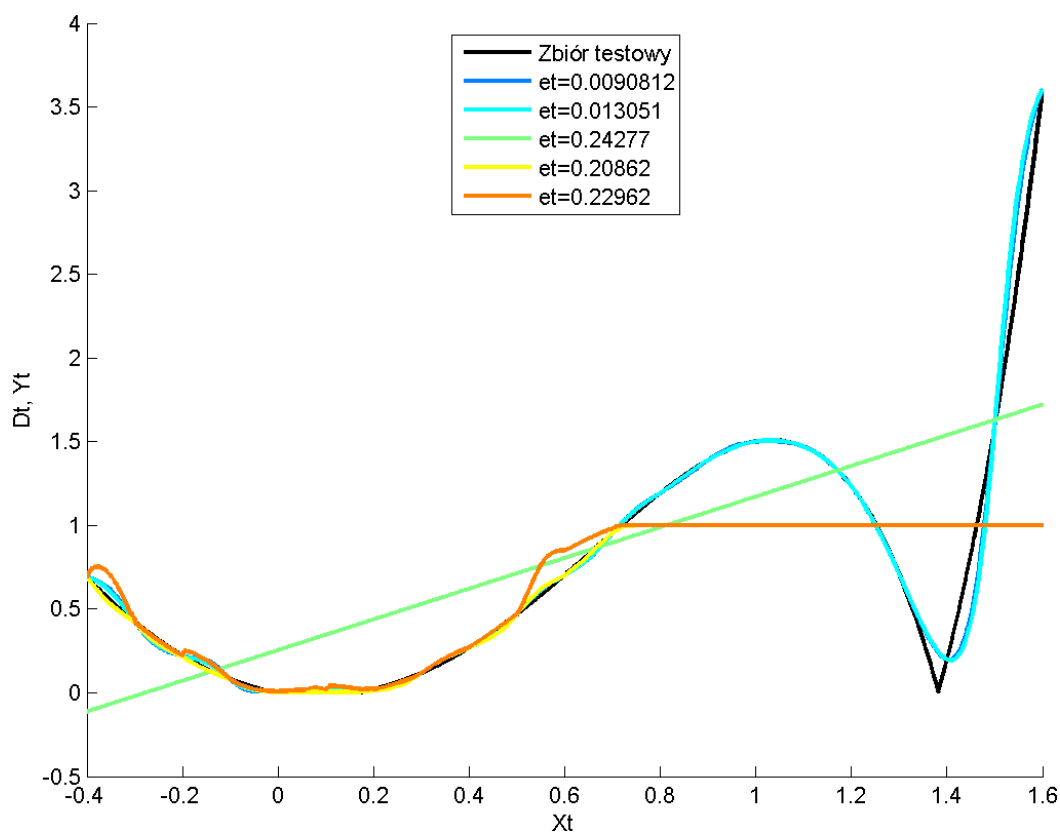
Rysunek 5: wpływ liczby neuronów w warstwach na jakość aproksymacji zbioru testowego

3. Postać funkcji aktywacji

Wpływ funkcji aktywacji badany był przy domyślnej liczbie warstw i neuronów. Przetestowane zostały postacie: {'tansig' 'purelin'}, {'logsig' 'purelin'}, {'purelin' 'purelin'}, {'tansig' 'logsig'} oraz {'tansig' 'tansig'}.



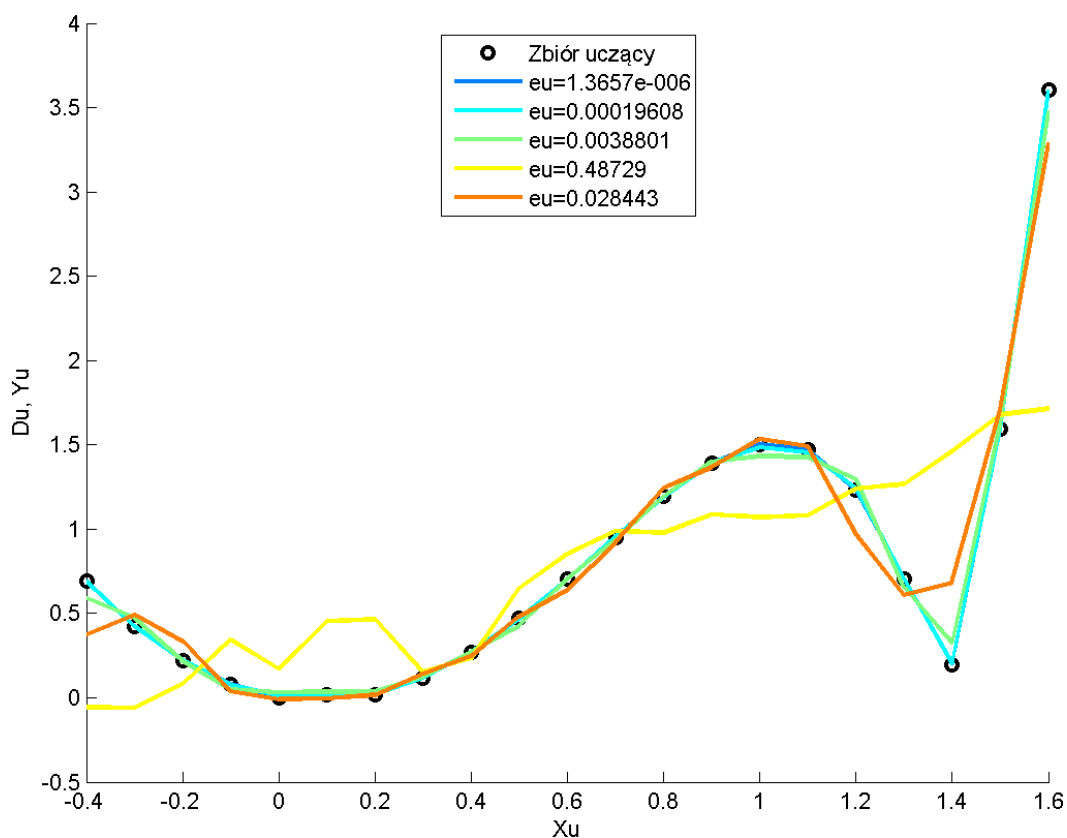
Rysunek 6: wpływ postaci funkcji aktywacji na jakość aproksymacji zbioru uczącego



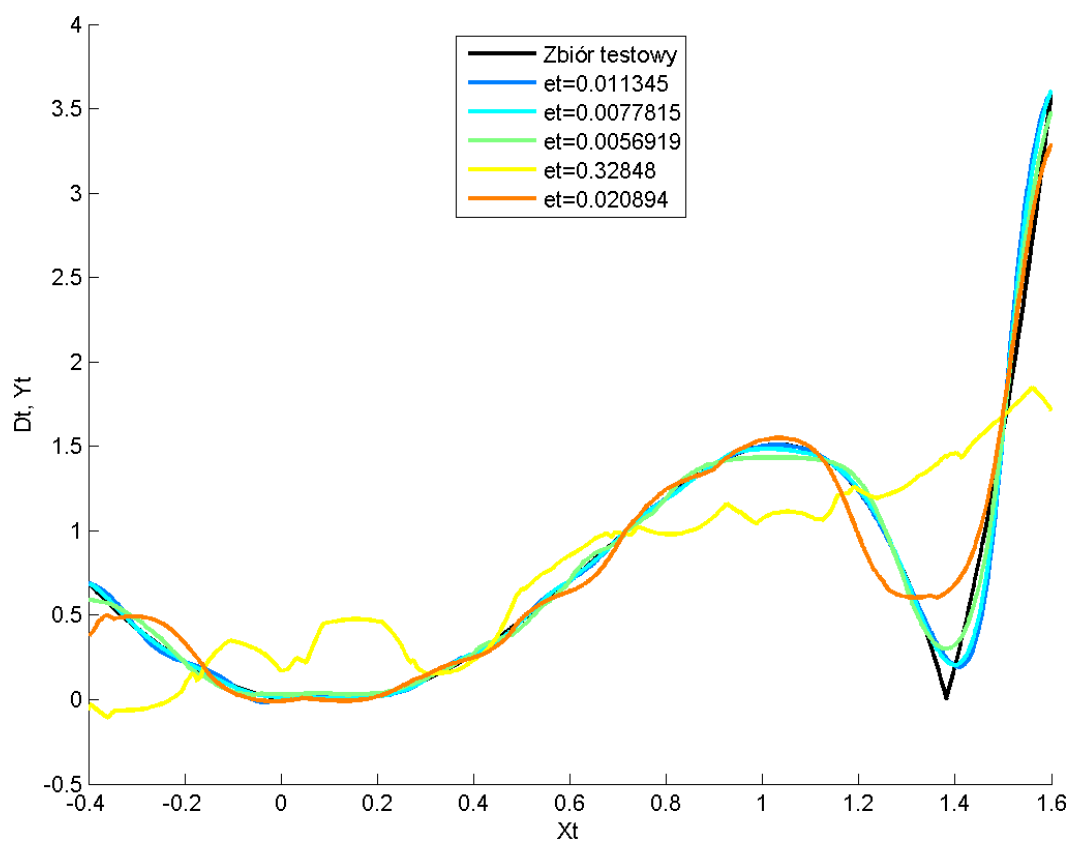
Rysunek 7: wpływ postaci funkcji aktywacji na jakość aproksymacji zbioru testowego

4. Wybór metody uczenia

Przetestowanych zostało 5 metod uczenia sieci: *'trainlm'*, *'trainbfg'*, *'trainrp'*, *'traingd'* oraz *'traingdx'*.



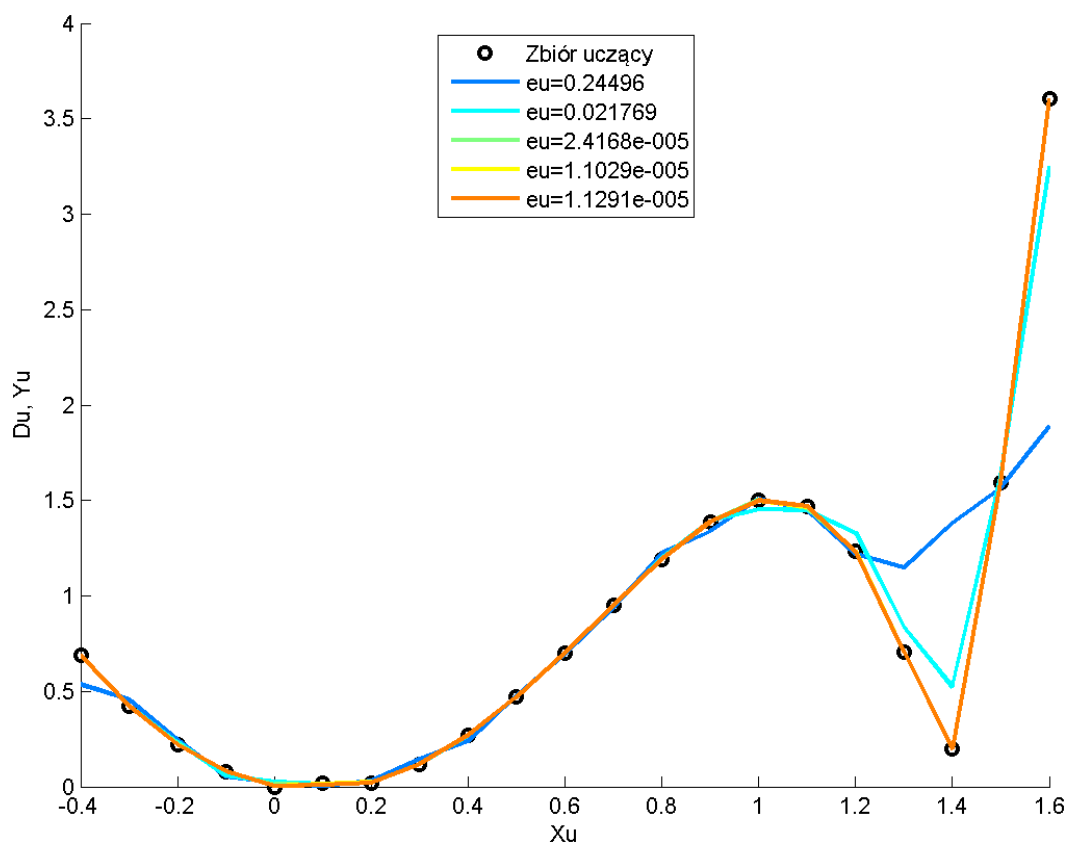
Rysunek 8: wpływ wyboru metody uczenia na jakość aproksymacji zbioru uczącego



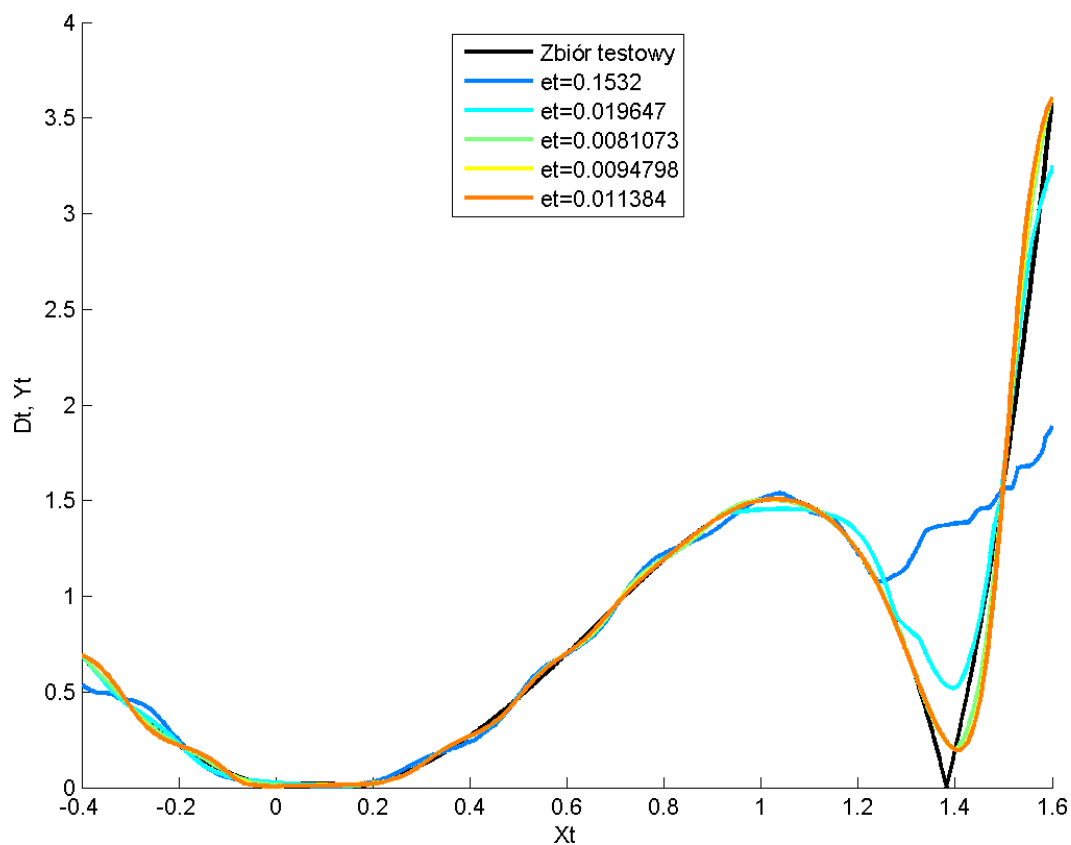
Rysunek 9: wpływ wyboru metody uczenia na jakość aproksymacji zbioru testowego

5. Liczba epok

Liczba epok zmieniana była podobnie jak liczba neuronów, a więc kolejno: 2, 5, 10, 20 i 50.



Rysunek 10: wpływ liczby epok na jakość aproksymacji zbioru uczącego

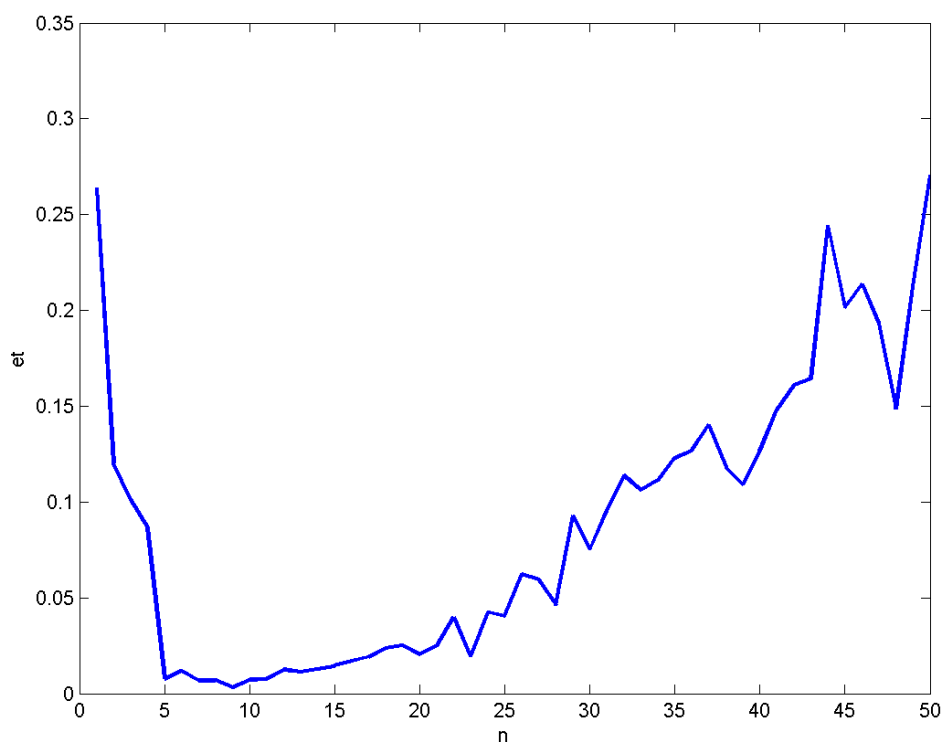


Rysunek 11: wpływ liczby epok na jakość aproksymacji zbioru testowego

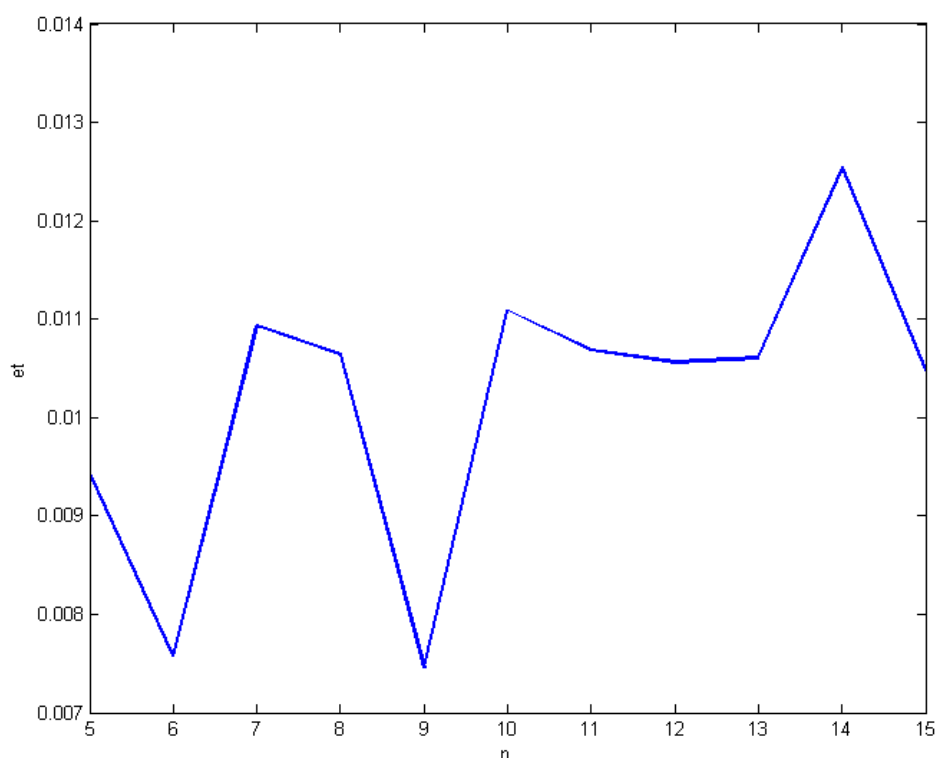
III. Wpływ liczby neuronów na jakość aproksymacji

1. Zbiór testowy

Zbadany został dokładny wpływ liczby neuronów w pierwszej warstwie sieci na jakość aproksymacji zbioru testowego. Testowanie odbyło się podobnie jak w punkcie II. 2. z tą różnicą, że liczba neuronów zmieniała się od 1 do 50 krokiem 1, powtarzając każdorazowo proces uczenia trzykrotnie i obliczając medianę z tych trzech wyników. Wskaźnikiem jakości był, podobnie jak wcześniej, błąd średniokwadratowy aproksymacji. Aby łatwiej znaleźć minimum tego wykresu, powtórzono operację dla liczby neuronów od 5 do 15, powtarzając proces uczenia trzydziestokrotnie.



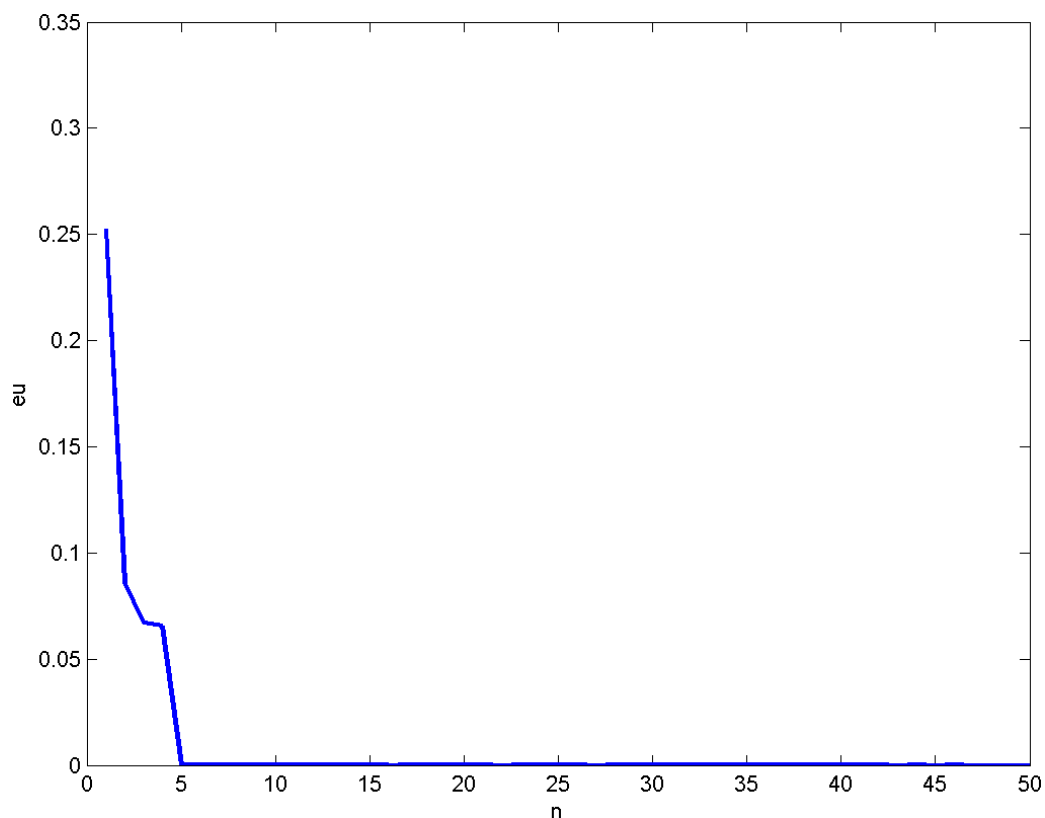
Rysunek 12: wpływ liczby neuronów na jakość aproksymacji zbioru testowego – szeroki przedział



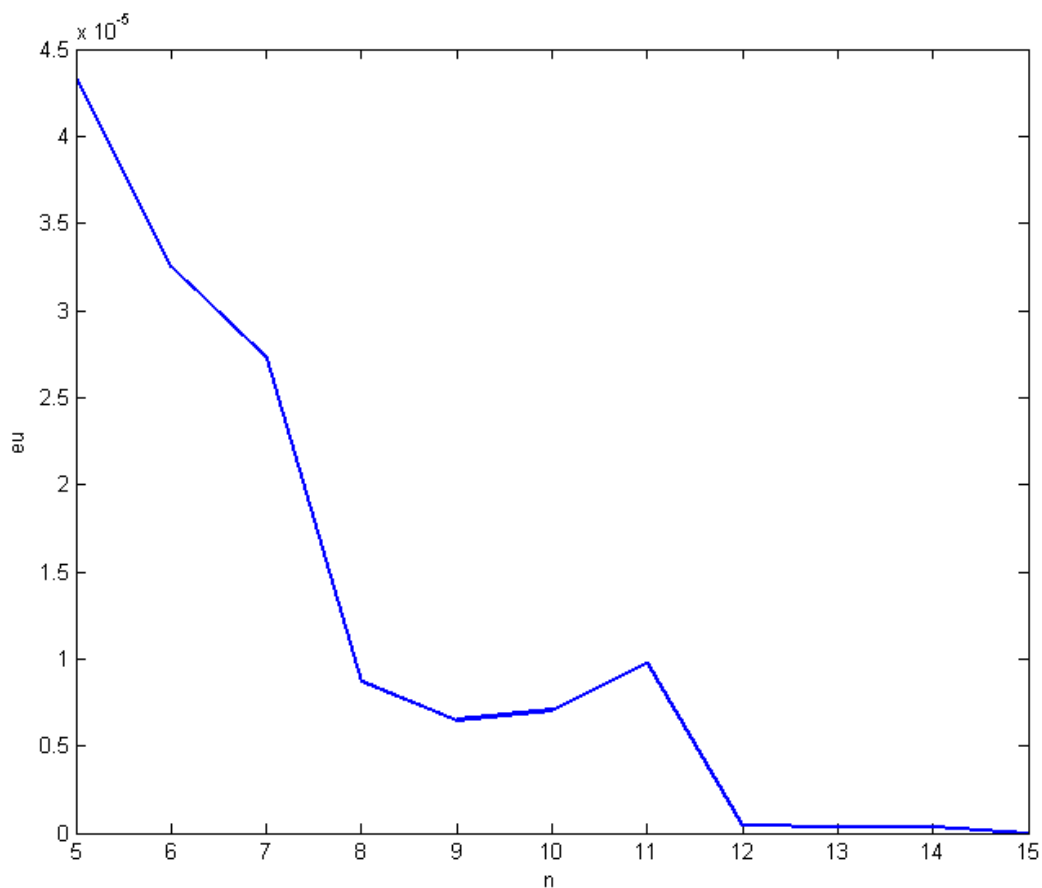
Rysunek 13: wpływ liczby neuronów na jakość aproksymacji zbioru testowego – wąski przedział

2. Zbiór uczący

Wpływ liczby neuronów na aproksymację zbioru uczącego został zbadany w sposób analogiczny, jak w przypadku zbioru testowego.



Rysunek 14: wpływ liczby neuronów na jakość aproksymacji zbioru uczącego – szeroki przedział



Rysunek 15: wpływ liczby neuronów na jakość aproksymacji zbioru uczącego – wąski przedział

IV. Spostrzeżenia i wnioski

Dobór liczby neuronów sieci ma bardzo istotny wpływ na jakość aproksymacji. W przypadku zbioru uczącego zwiększanie liczby neuronów wpływa korzystnie na przebieg wykresu (rys. 4) i minimalizuje błąd średniokwadratowy (rys. 14 i 15). W przypadku zbioru testowego sprawa się komplikuje. Zbyt mała liczba neuronów powoduje „niedouczenie” (rys. 5, kolor niebieski), a zbyt duża „przeuczenie” (rys. 5, kolor pomarańczowy) sieci. Z rys. 5 można by wnioskować, że dla badanej przez nas funkcji (rys. 1) i sieci najbardziej optymalna liczba neuronów będzie bliska liczbie 5, gdyż poniżej i powyżej tej wartości błąd średniokwadratowy rośnie.

Dokładne przebadanie zależności jakości aproksymacji od liczby neuronów (rys. 12 i 13) wskazuje jednak, że jest inaczej. Widać na niej, że dla badanej przez nas funkcji (rys. 1) i sieci najbardziej optymalną liczbą neuronów w pierwszej warstwie jest 9. Wykres ten potwierdza, że rzeczywiście błąd dla 5 neuronów jest mniejszy niż dla $n=10$ oraz że w pobliżu $n=5$ znajduje się minimum, jednakże jest to minimum lokalne. Pobieżne zbadanie wpływu liczby neuronów na jakość aproksymacji (rys. 5) nie pozwala więc znaleźć najbardziej optymalnej liczby n . Można też zauważyć, że minima lokalne w przedziale liczby neuronów od 5 do 15 występują dokładnie co trzy neurony, a więc dla $n=6, 9, 12$ i 15 .

Wpływ liczby warstw sieci jest podobny. Istnieje więc pewna liczba warstw, dla której błąd średniokwadratowy dla zbioru testowego jest minimalny. W naszym przypadku sieć najlepiej aproksymowała zbiór testowy przy 5 warstwach (rys. 3, kolor żółty). W tym przypadku, w odróżnieniu od wpływu liczby neuronów, dobór liczby warstw sieci ma także znaczenie przy zbiorze uczącym. Sieć najlepiej nauczyła się tego zbioru dla 4 warstw, poniżej i powyżej tej wartości błąd średniokwadratowy rósł (rys. 2).

Przebadanie różnych postaci funkcji aktywacji (rys. 6 i 7) pozwala nam stwierdzić, że jedynymi rozsądnymi kombinacjami dla dwóch warstw są: $\{ 'tansig' \ 'purelin' \}$ oraz $\{ 'logsig' \ 'purelin' \}$. Pozostałe przebadane opcje dały rezultaty dalekie od optymalnych.

Zbadanych zostało także 5 metod uczenia sieci (rys. 8 i 9). Metoda *'trainlm'* jest domyślną i najszybszą metodą uczenia. Metoda *'trainbfg'* jest wolniejsza, ale daje lepsze rezultaty, podobnie jak *'trainrp'*, która jest najwolniejsza i najdokładniejsza z całej tej trójki. Metoda gradientowa *'traingd'* dała słabe wyniki, ale już jej rozwinięcie o metodę momentum i uczenie adaptacyjne, a więc metoda *'traingdx'*, pozwoliła na nauczenie sieci w sposób zbliżony dokładnością do metody *'trainlm'*.

Ostatnim z przebadanych parametrów była maksymalna liczba epok. Zwiększanie tej liczby powodowało lepszą aproksymację zbioru uczącego (rys. 10 i 11), ale tylko do pewnej wartości, która w naszym przypadku wynosiła 10. Zwiększanie tej liczby nie wpływało już dalej na poprawę jakości aproksymacji obydwu zbiorów, ponieważ zadana liczba epok (iteracji) bardzo często nie była w ogóle osiągnięta – proces był przerywany z powodu osiągnięcia maksymalnej lub minimalnej wartości innych wskaźników około dziesiątej iteracji. Odpowiedni dobór tej liczby w naszym przypadku sprowadza się więc tylko do przekroczenia pewnego minimalnego progu. Liczba epok może mieć większe znaczenie w zadaniach, w których inne wskaźniki nie osiągają swego ekstremum, a tym samym nie przerywają procesu uczenia.

V. Listing

```
clear all; close all; clc;

% Nasza funkcja nieliniowa
f=@(x) abs(x.^5-3*x.^2+0.5*x);
figure;
X=-0.4:0.01:1.6;
Y=f(X);
plot(X,Y,'LineWidth',2);
saveas(gcf,'f.png');
close(gcf);

% Zadanie 1
N={ [10 1];
    [10 1];
    [10 1];
    [10 1];
    [10 1]
};
F={ {'tansig','purelin'};
    {'tansig','purelin'};
    {'tansig','purelin'};
    {'tansig','purelin'};
    {'tansig','purelin'}
};
M={ 'trainlm';
    'trainlm';
    'trainlm';
    'trainlm';
    'trainlm';
};
e={ 2;
    5;
    10;
    20;
    50;
};
Zad1(f,N,F,M,e,10);

% Zadanie 2
nopt = Zad2(f,[1 50],F,M,e,3);
nopt = Zad2(f,[5 15],F,M,e,30);
```

```

function Zad1(f,N,F,M,e,p)

    % Generowanie zbioru uczącego
    Xu=-0.4:0.1:1.6;
    Du=f(Xu);

    % Generowanie zbioru testowego
    Xt=-0.4:0.001:1.6;
    Dt=f(Xt);

    % Prealokacja macierzy
    n=length(N);
    Yu=zeros(p,length(Xu),n);
    Yt=zeros(p,length(Xt),n);
    Eu=zeros(p,n);
    Et=zeros(p,n);
    EU=cell(1,n);
    ET=cell(1,n);

    % Różne wartości parametrów
    for j=1:n

        % Wiele powtórzeń procesu uczenia
        for i=1:p

            % Utworzenie sieci neuronowej
            S=newff([-0.4 1.6],N{j},F{j},M{j});

            % Uczenie sieci neuronowej
            S.trainParam.showWindow=0;
            S.trainParam.epochs=e{j};
            S=train(S,Xu,Du);

            % Aproksymacja zbioru uczącego
            Yu(i,:,j)=sim(S,Xu);
            Eu(i,j)=mse(Du-Yu(i,:,j));

            % Aproksymacja zbioru testowego
            Yt(i,:,j)=sim(S,Xt);
            Et(i,j)=mse(Dt-Yt(i,:,j));

        end

    end

    % Mediana aproksymacji i błędu
    Yu=squeeze(median(Yu));
    Yt=squeeze(median(Yt));
    Eu=median(Eu);
    Et=median(Et);

    % Wykresy końcowe
    K=jet(n);
    figure(1); hold on;
    plot(Xu,Du,'ko','LineWidth',2);
    for i=1:n
        plot(Xu,Yu(:,i),'Color',K(i,:), 'LineWidth',2);
        EU{i}=[ 'eu=' num2str(Eu(i)) ];
    end
    EU(2:n+1)=EU;
    EU{1}='Zbiór uczący';
    xlabel('Xu');
    ylabel('Du, Yu');
    legend(EU,'Location','North');
    figure(2); hold on;
    plot(Xt,Dt,'k','LineWidth',2);
    for i=1:n
        plot(Xt,Yt(:,i),'Color',K(i,:), 'LineWidth',2);
        ET{i}=[ 'et=' num2str(Et(i)) ];
    end
    ET(2:n+1)=ET;
    ET{1}='Zbiór testowy';
    xlabel('Xt');
    ylabel('Dt, Yt');
    legend(ET,'Location','North');

    % Zapisanie wykresów
    saveas(1,'Zad1\eu.png');
    saveas(2,'Zad1\et.png');
    close all;

end

```

```

function nopt = Zad2(f,np,F,M,e,p)

% Generowanie zbioru uczącego
Xu=-0.4:0.1:1.6;
Du=f(Xu);

% Generowanie zbioru testowego
Xt=-0.4:0.001:1.6;
Dt=f(Xt);

% Prealokacja macierzy
d=diff(np)+1;
Eu=zeros(p,1);
Et=zeros(p,1);
eu=zeros(d,1);
et=zeros(d,1);

% Różna liczba neuronów
for n=1:d

    % Wiele powtórzeń procesu uczenia
    for i=1:p

        % Utworzenie sieci neuronowej
        S=newff([-0.4 1.6],[n+np(1)-1 1],F,M);

        % Uczenie sieci neuronowej
        S.trainParam.showWindow=0;
        S.trainParam.epochs=e;
        S=train(S,Xu,Du);

        % Aproksymacja zbioru uczącego
        Yu=sim(S,Xu);
        Eu(i)=mse(Du-Yu);

        % Aproksymacja zbioru testowego
        Yt=sim(S,Xt);
        Et(i)=mse(Dt-Yt);

    end

    % Mediana błędu
    eu(n)=median(Eu);
    et(n)=median(Et);

end

% Wyznaczenie optymalnej liczby neuronów
nopt=find(et==min(et))+np(1)-1;

% Wykresy końcowe
figure(1);
plot(np(1):np(2),eu,'LineWidth',2);
xlabel('n');
ylabel('eu');
figure(2);
plot(np(1):np(2),et,'LineWidth',2);
xlabel('n');
ylabel('et');

% Zapisanie wykresów
saveas(1,'Zad2\eu.png');
saveas(2,'Zad2\et.png');
close all;

end

```